

Abb. 4

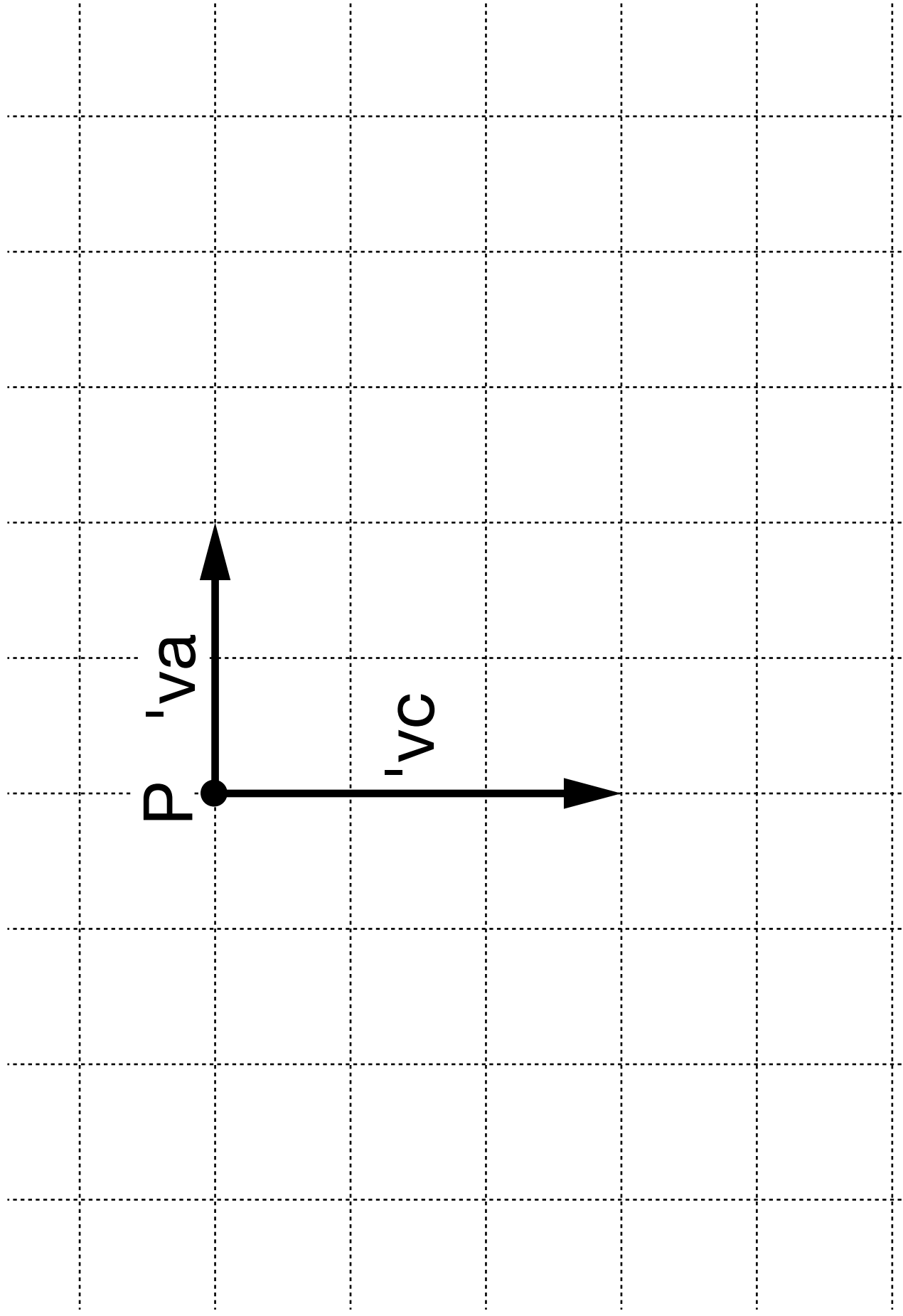


Abb. 6

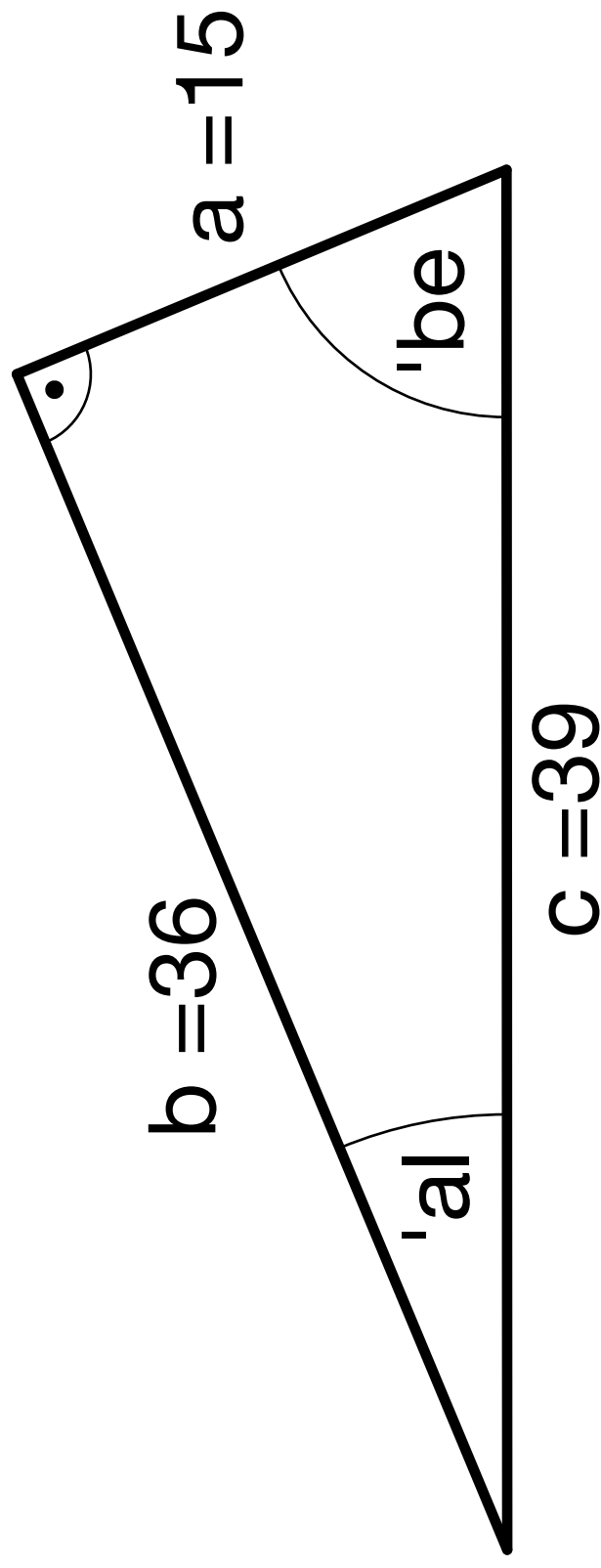
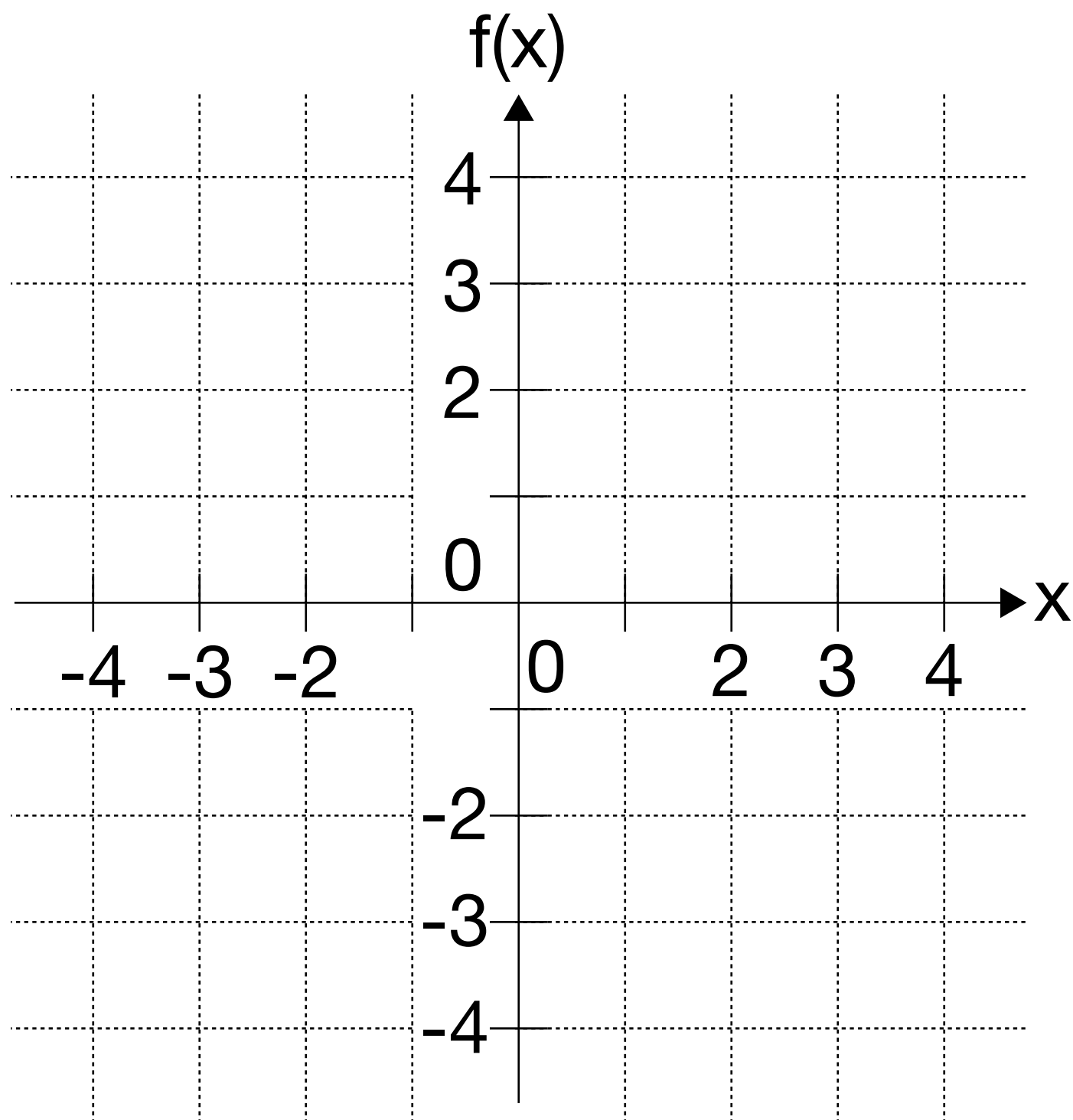


Abb. 7



# Abb. 12

x ... t in s

y ... h(t) in m

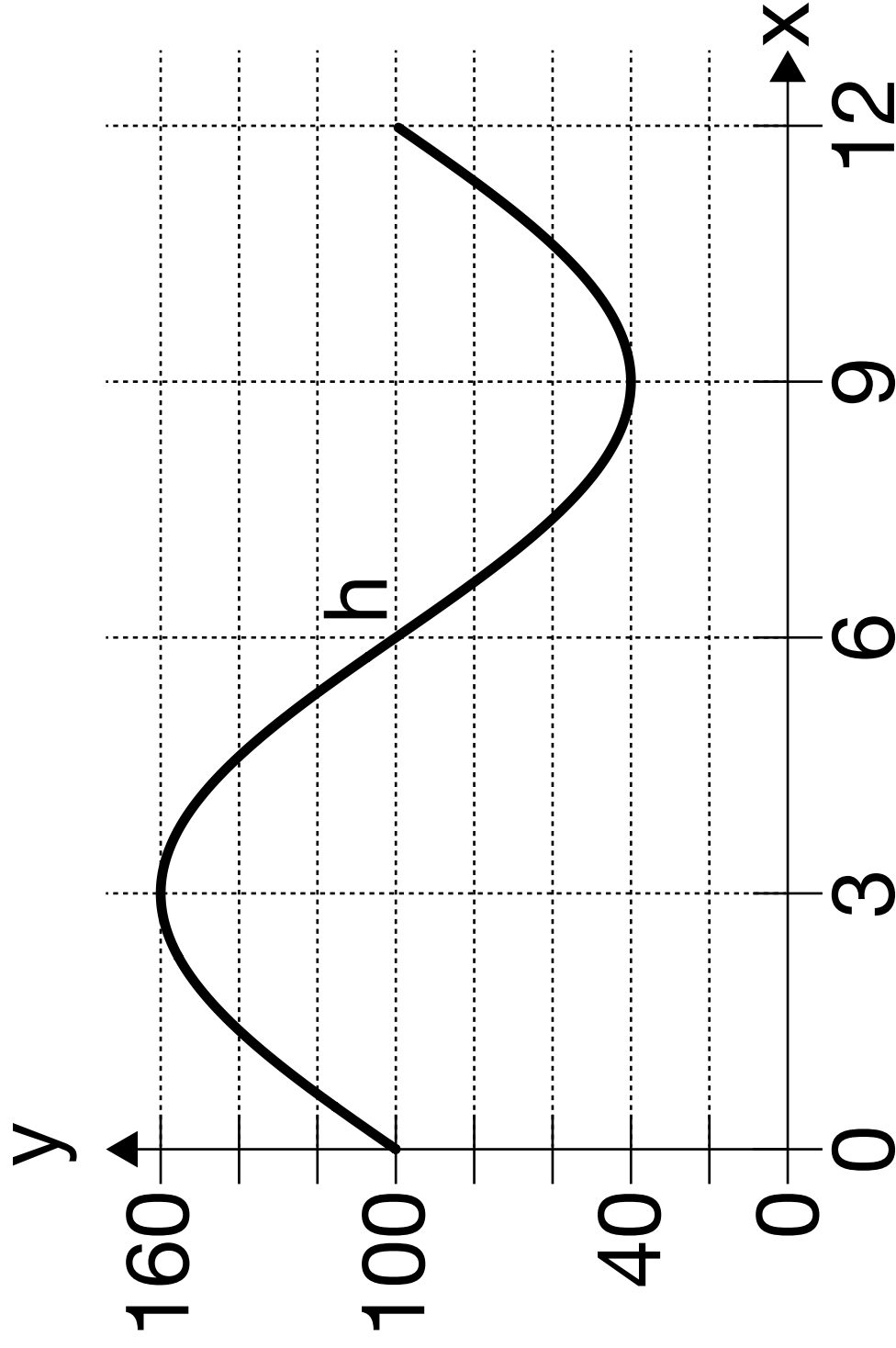
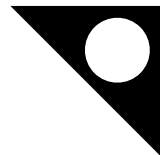


Abb. 16



—  $f'$

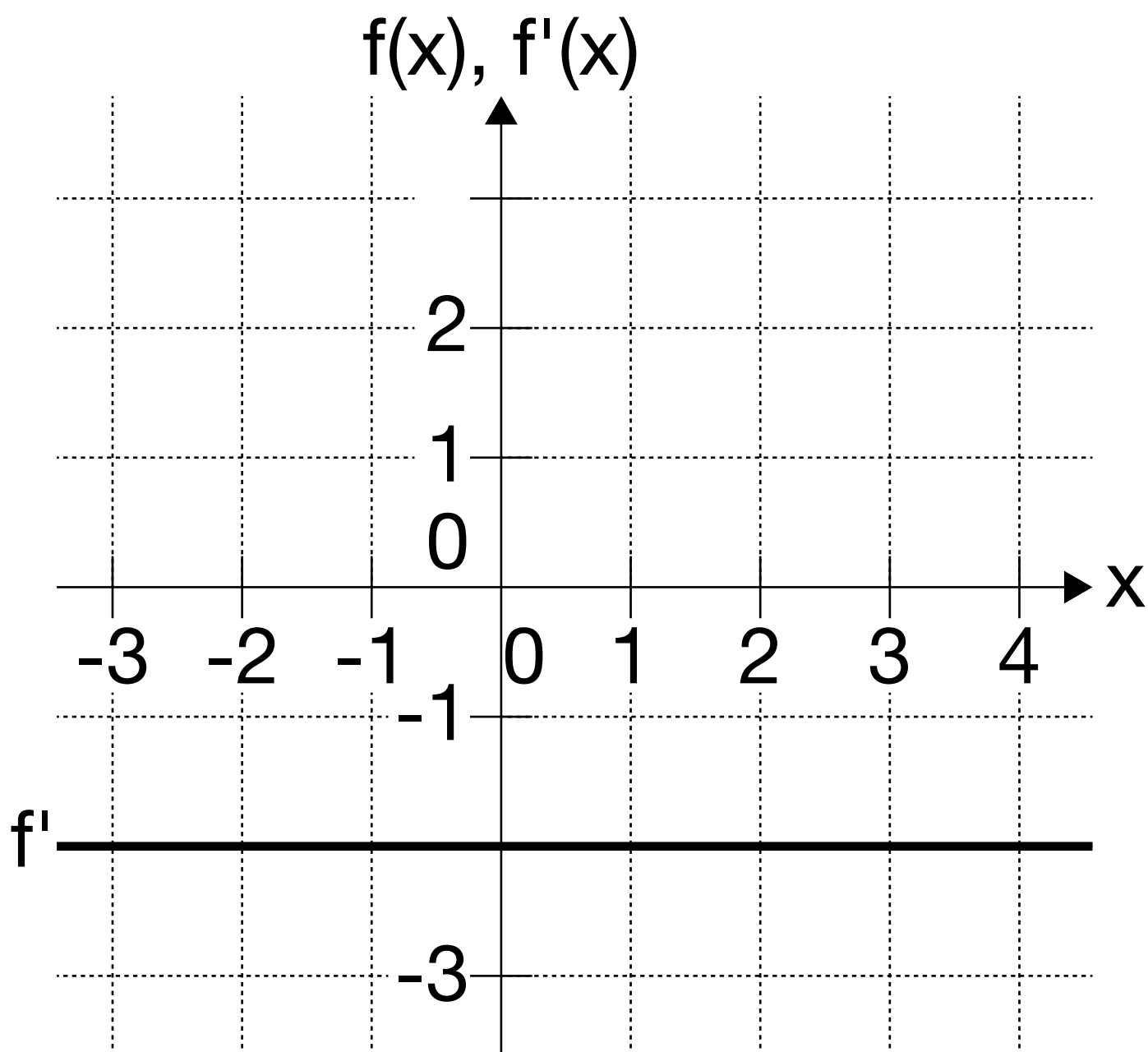


Abb. 17

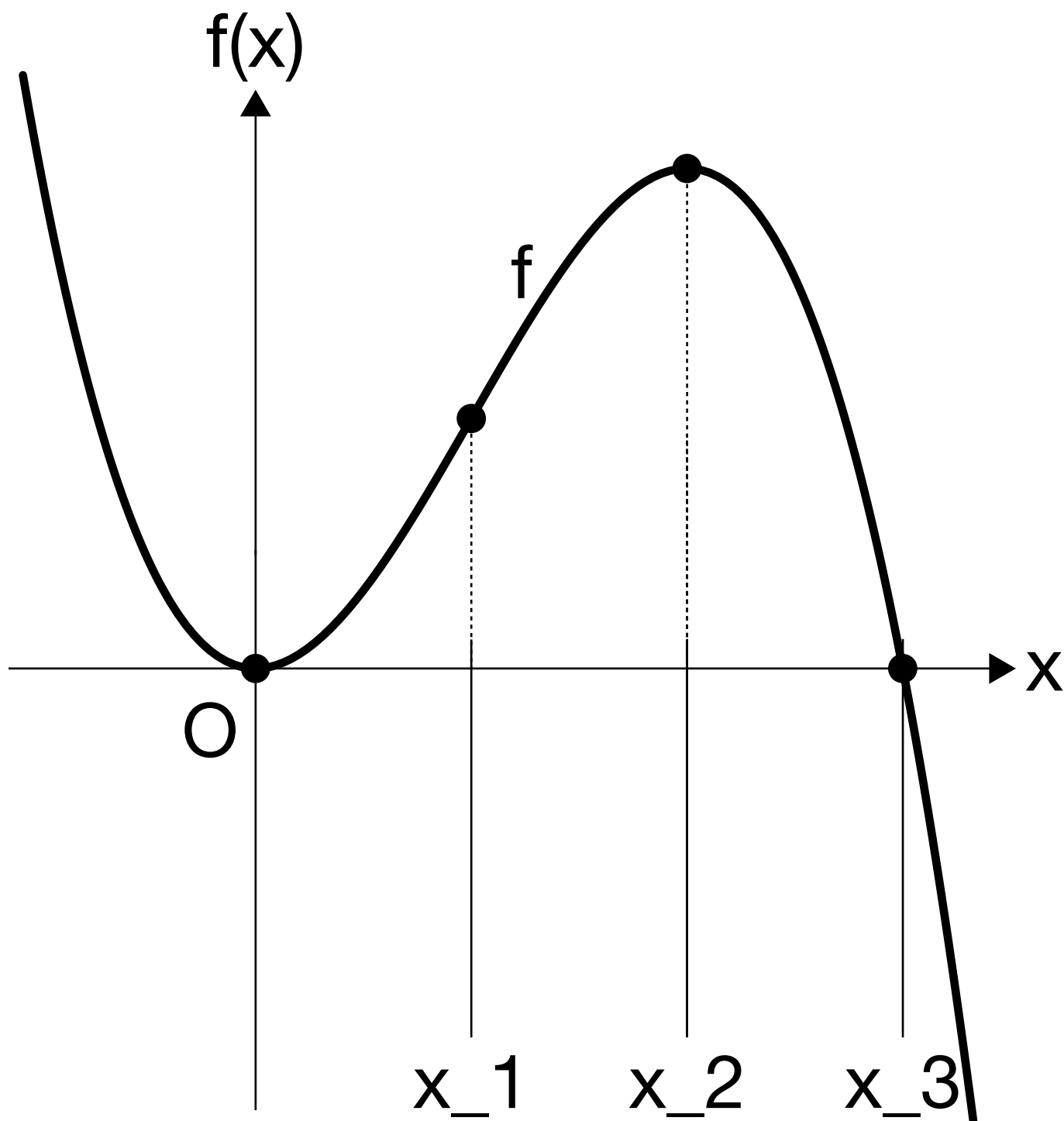
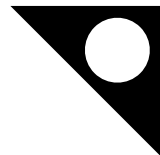
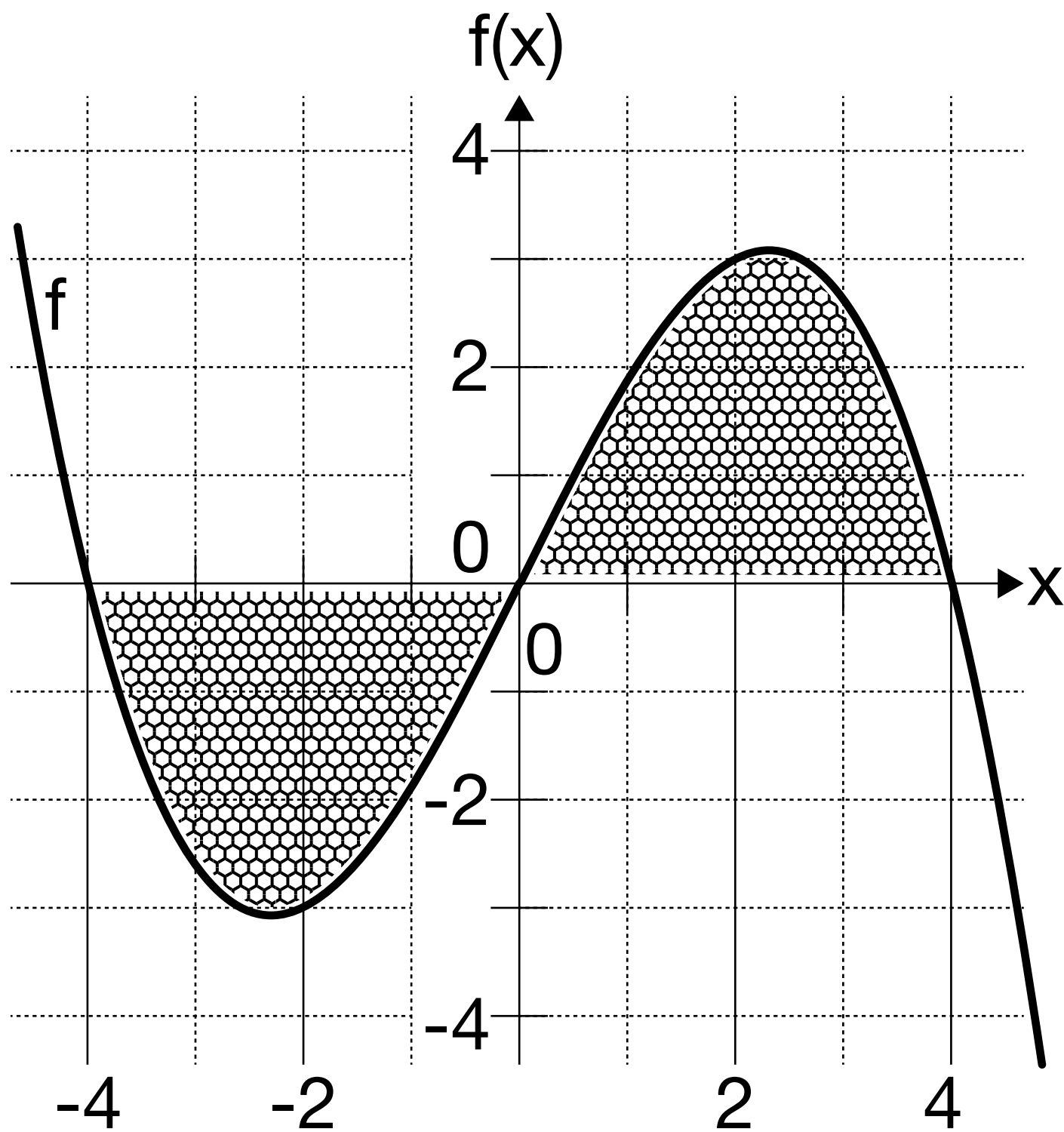


Abb. 18

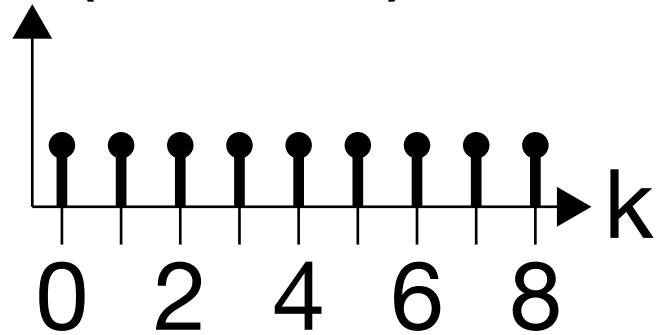


# Abb. 24\_1 bis 24\_5



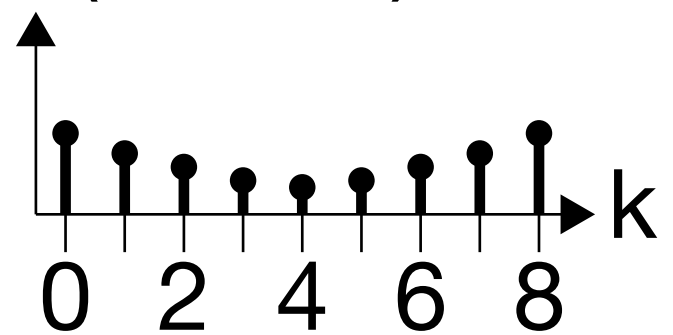
24\_1

$P(X_1 = k)$



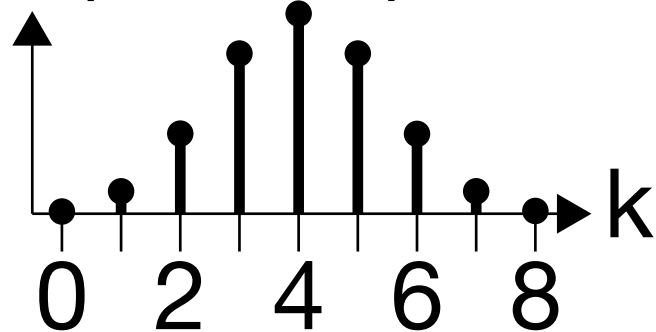
24\_2

$P(X_2 = k)$



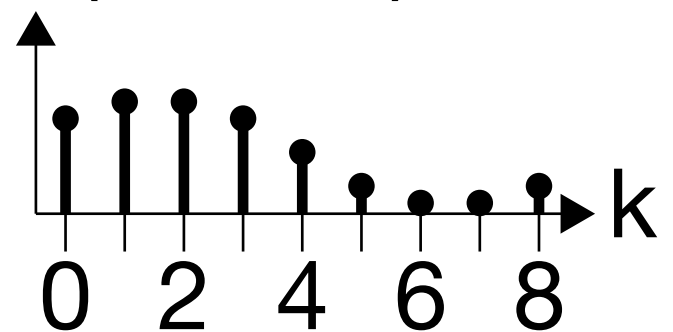
24\_3

$P(X_3 = k)$



24\_4

$P(X_4 = k)$



24\_5

$P(X_5 = k)$

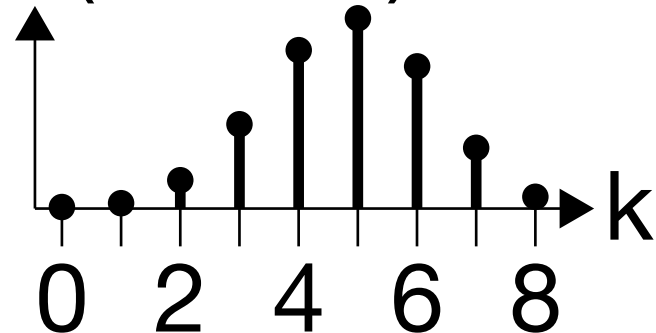




Abb. 25c

$x \dots x$  in m

$y \dots f(x)$  in m

—— Wasserrutsche

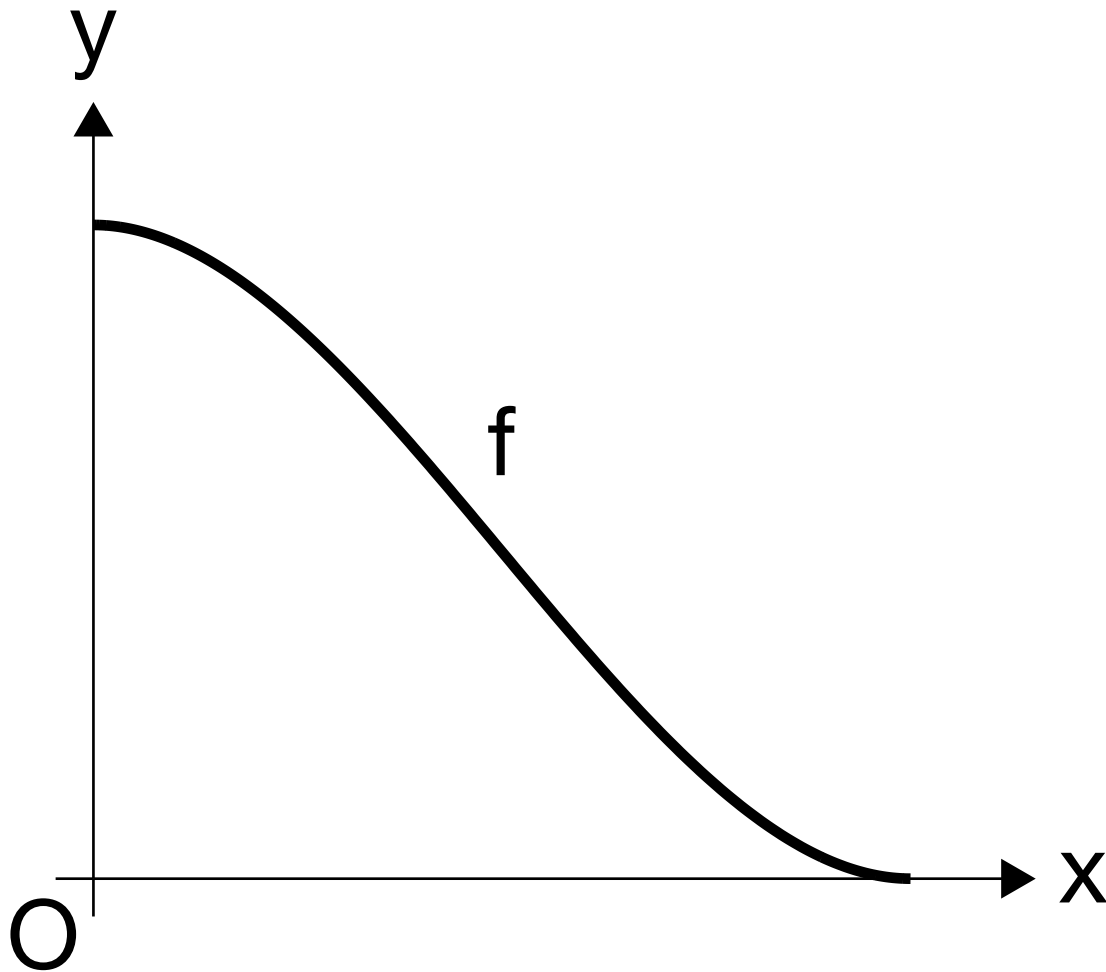


Abb. 26a

S ... Start

G ... Gipfelhaus

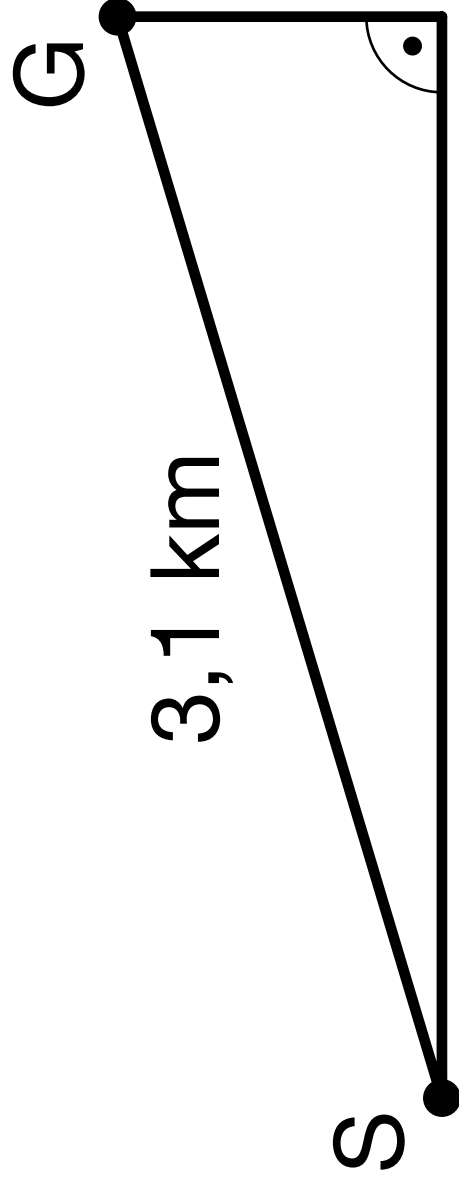


Abb. 26c

x ... Abweichung in %

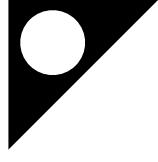
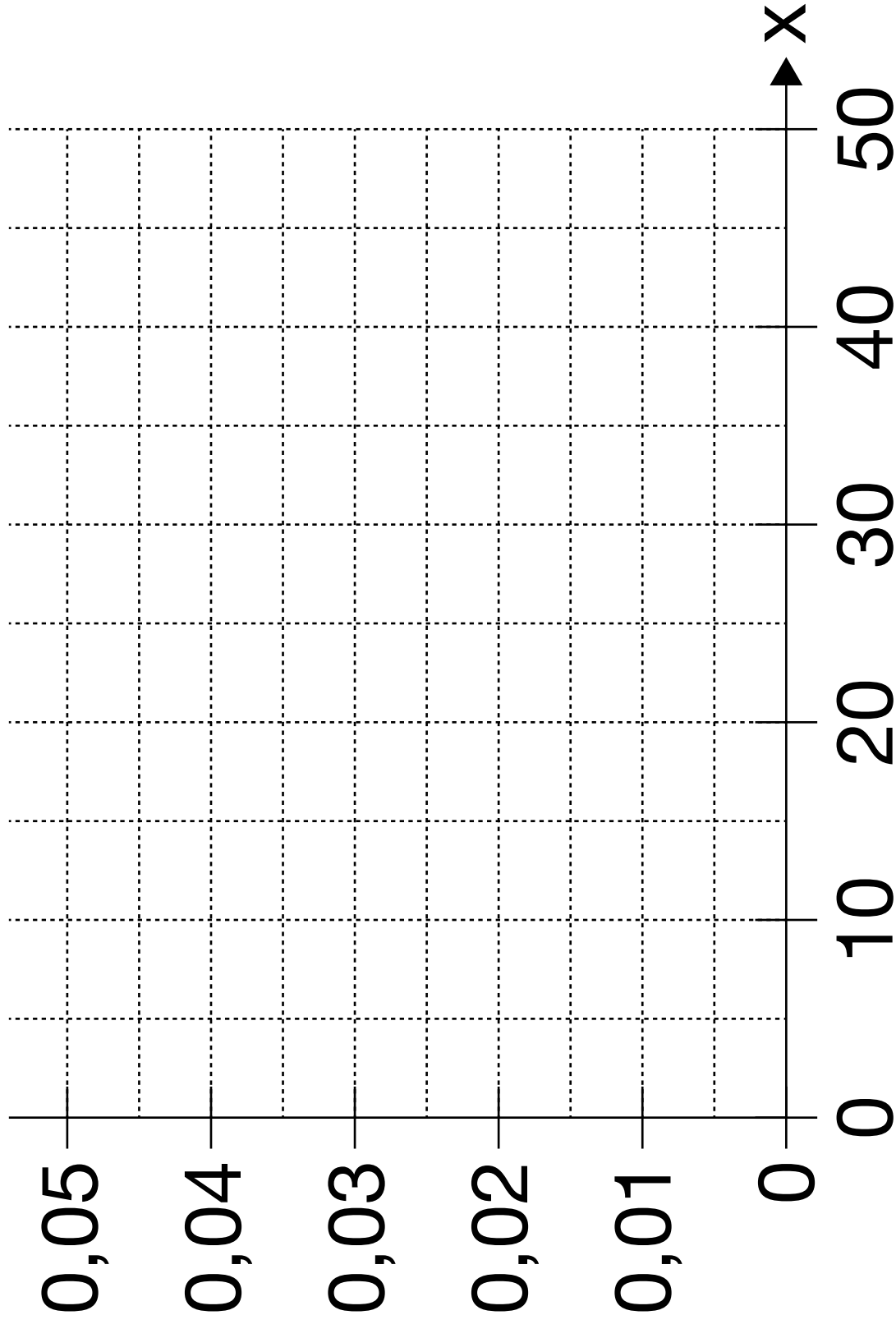
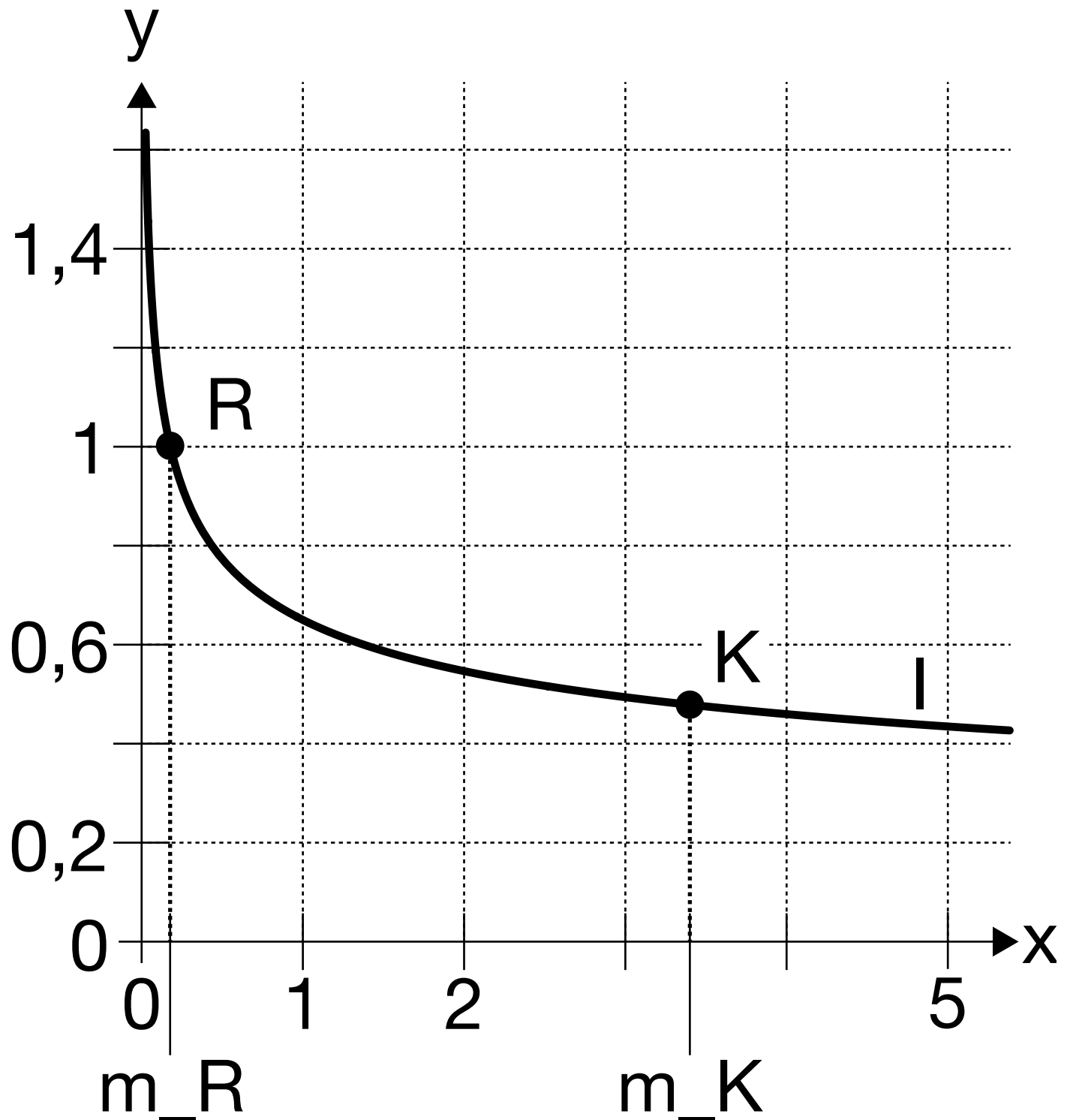


Abb. 27b

$x \dots m \text{ in kg}$

$y \dots I(m) \text{ in } L/(h \cdot \text{kg})$



# Abb. 27c

x ... t in min

y ... u(t) in L/min

